

Astronomía Extragaláctica

Cap. 5: Galaxias elípticas

Profesor: Favio R. Faifer & Sergio A. Cellone

Facultad de Ciencias Astronómicas y Geofísicas

Universidad Nacional de La Plata, Argentina

curso 2024

- 1 Consideraciones generales
- 2 Sistemas no colisionales
- 3 Distribución de brillo superficial
- 4 Cinemática
- 5 El plano fundamental
- 6 Poblaciones estelares y material interestelar
- 7 Agujeros negros supermasivos centrales

- 1 Consideraciones generales
- 2 Sistemas no colisionales
- 3 Distribución de brillo superficial
- 4 Cinemática
- 5 El plano fundamental
- 6 Poblaciones estelares y material interestelar
- 7 Agujeros negros supermasivos centrales

Consideraciones generales



NGC 1132. Créditos: M. West (ESO, Chile), NASA, ESA and the Hubble Heritage (STScI/AURA)-ESA/Hubble Collaboration.

Consideraciones generales

Algunas definiciones

- isofotas regulares (circulares o elípticas)
- distribución suave de luz
- sin regiones de formación estelar y polvo
- casi sin H_I
- sin discos prominentes

Esta simplicidad es solo aparente:

- las E cubren un rango enorme de \mathcal{L} ($10^5 - 10^{12} \mathcal{L}_\odot$) y concentración
- algunas rotan rápido, otras casi nada
- algunas serían oblongas, otras triaxiales
- algunas son fuertes emisores en X y/o continuo de radio

Consideraciones generales

Algunas definiciones

- isofotas regulares (circulares o elípticas)
- distribución suave de luz
- sin regiones de formación estelar y polvo
- casi sin H_I
- sin discos prominentes

Esta simplicidad es solo aparente:

- las E cubren un rango enorme de \mathcal{L} ($10^5 - 10^{12} \mathcal{L}_\odot$) y concentración
- algunas rotan rápido, otras casi nada
- algunas serían oblongas, otras triaxiales
- algunas son fuertes emisores en X y/o continuo de radio

- 1 Consideraciones generales
- 2 Sistemas no colisionales
- 3 Distribución de brillo superficial
- 4 Cinemática
- 5 El plano fundamental
- 6 Poblaciones estelares y material interestelar
- 7 Agujeros negros supermasivos centrales

Sistemas no colisionales

Algunas definiciones

- Tiempo de cruce (o tiempo dinámico): es el tiempo necesario para atravesar todo el sistema.

$$t_{cruce} = R/v = \left(\frac{R^3}{GM}\right)^{1/2} \quad (1)$$

- Tiempo de relajación: es el tiempo necesario para que los encuentros entre las partículas que componen el sistema borren completamente la memoria de las velocidades iniciales del sistema.

$$t_{relax} \sim \left(\frac{R^3}{GM}\right)^{1/2} \frac{N}{8\ln N} = t_{cruce} \frac{N}{8\ln N} \quad (2)$$

Sistemas no colisionales

Algunas definiciones

- Tiempo de cruce (o tiempo dinámico): es el tiempo necesario para atravesar todo el sistema.

$$t_{cruce} = R/v = \left(\frac{R^3}{GM}\right)^{1/2} \quad (1)$$

- Tiempo de relajación: es el tiempo necesario para que los encuentros entre las partículas que componen el sistema borren completamente la memoria de las velocidades iniciales del sistema.

$$t_{relax} \sim \left(\frac{R^3}{GM}\right)^{1/2} \frac{N}{8\ln N} = t_{cruce} \frac{N}{8\ln N} \quad (2)$$

Sistemas no colisionales

Algunas definiciones

- Para una galaxia E → $t_{cruce} \sim 10^8$ años
($t_{cruce} < t_{Hubble}$)
- Para un CG → $t_{relax} \sim 10^9$ años ($t_{relax} < t_{Hubble}$)
→ sistema colisional.
- Para una E → $t_{relax} \sim 10^{12}$ años ($t_{relax} > t_{Hubble}$)
→ sistema no colisional!

Sistemas no colisionales

Algunas definiciones

- Para una galaxia E → $t_{cruce} \sim 10^8$ años
($t_{cruce} < T_{Hubble}$)
- Para un CG → $t_{relax} \sim 10^9$ años ($t_{relax} < t_{Hubble}$)
→ sistema colisional.
- Para una E → $t_{relax} \sim 10^{12}$ años ($t_{relax} > t_{Hubble}$)
→ sistema no colisional!

Sistemas no colisionales

Algunas definiciones

- Para una galaxia E → $t_{cruce} \sim 10^8$ años
($t_{cruce} < t_{Hubble}$)
- Para un CG → $t_{relax} \sim 10^9$ años ($t_{relax} < t_{Hubble}$)
→ sistema colisional.
- Para una E → $t_{relax} \sim 10^{12}$ años ($t_{relax} > t_{Hubble}$)
→ sistema no colisional!

- 1 Consideraciones generales
- 2 Sistemas no colisionales
- 3 Distribución de brillo superficial
- 4 Cinemática
- 5 El plano fundamental
- 6 Poblaciones estelares y material interestelar
- 7 Agujeros negros supermasivos centrales

Elípticas gigantes: $\mathcal{L} \gtrsim \mathcal{L}^* \approx 2 \times 10^{10} \mathcal{L}_\odot (\equiv M_B \approx -20)$

Elípticas de luminosidad intermedia: $3 \times 10^9 \mathcal{L}_\odot \lesssim \mathcal{L} \lesssim \mathcal{L}^*$, o
sea $-20 \lesssim M_B \lesssim -18$

Elípticas enanas: $\mathcal{L} \lesssim 3 \times 10^9 \mathcal{L}_\odot$, o sea $M_B \gtrsim -18$.

Perfiles de brillo

NGC 1399 y G 675 (Abell 2572)

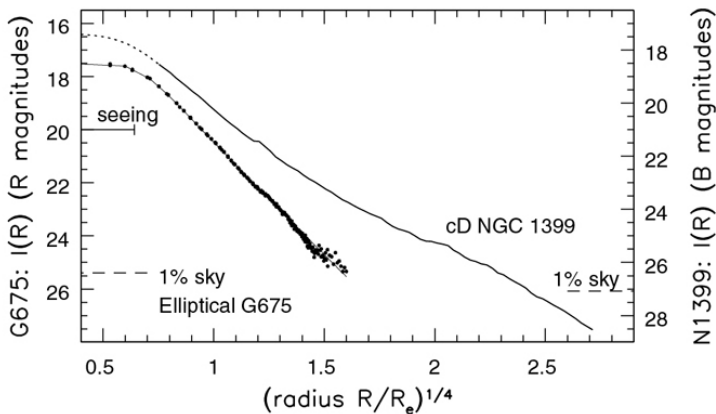


Fig 6.3 (Saglia, Caon) 'Galaxies in the Universe' Sparke/Gallagher CUP 2007

Perfiles de brillo

VCC 753

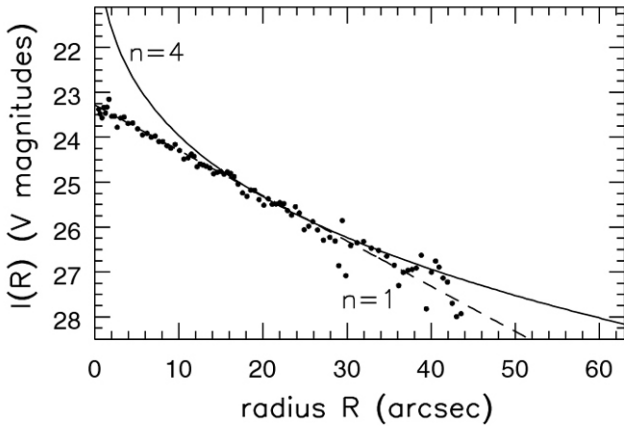


Fig 6.2 (H.Jerjen) 'Galaxies in the Universe' Sparke/Gallagher CUP 2007

Perfiles de brillo: zona central

Perfiles "core" y "cusp" (o power law)

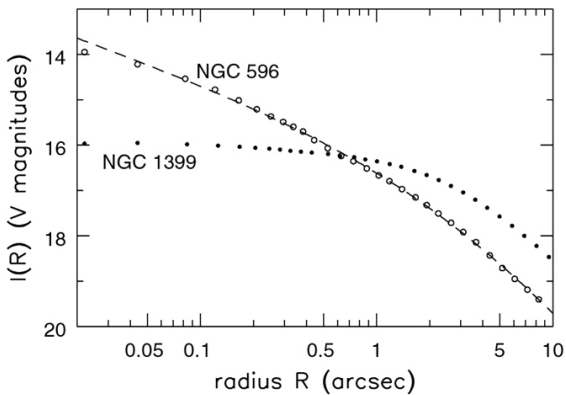
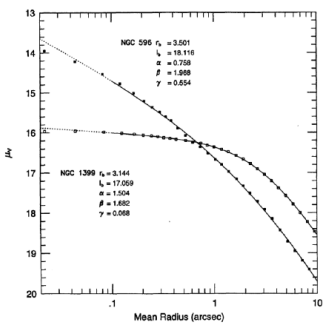


Fig 6.7 (T. Lauer) 'Galaxies in the Universe' Sparke/Gallagher CUP 2007

Perfiles de brillo: zona central

Perfiles “core” y “cusp” (o power law)



(Lauer et al., 1995)

Perfil “Nuker” (Lauer et al., 1995)

$$I(r) = I_b 2^{(\beta-\gamma)/\alpha} \left(\frac{r}{r_b} \right)^{-\gamma} \left[1 + \left(\frac{r}{r_b} \right)^\alpha \right]^{(\gamma-\beta)/\alpha}$$

Perfil “Core-Sérsic” (Graham et al., 2003)

$$I(r) = I' \left[1 + \left(\frac{r_b}{r} \right)^\alpha \right]^{\gamma/\alpha} \exp \left[-b_n \left(\frac{r^\alpha + r_b^\alpha}{r_e^\alpha} \right)^{1/(\alpha n)} \right]$$

$$I' = I_b 2^{-\gamma/\alpha} \exp \left[b_n \left(2^{1/\alpha} r_b / r_e \right)^{1/n} \right]$$

Galaxias dominantes - cD

M 87



Fig 6.4 (CFHT/J.-C. Cuillandre Coelum) 'Galaxies in the Universe' Sparke/Gallagher CUP 2007

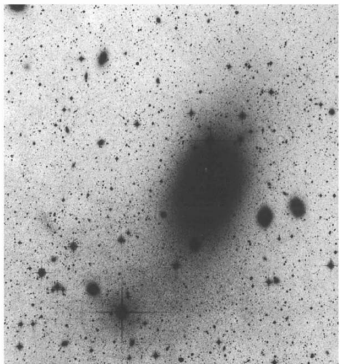


Fig 6.4 (D. Malin) 'Galaxies in the Universe' Sparke/Gallagher CUP 2007

Galaxias dominantes - cD

M 87



Fig 6.4 (CFHT/J.-C. Cuillandre Coelum) 'Galaxies in the Universe' Sparke/Gallagher CUP 2007

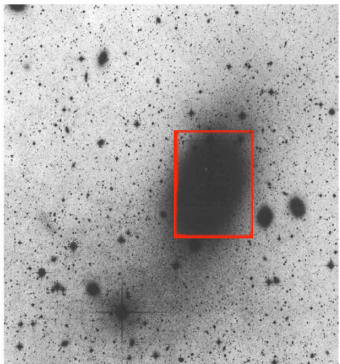
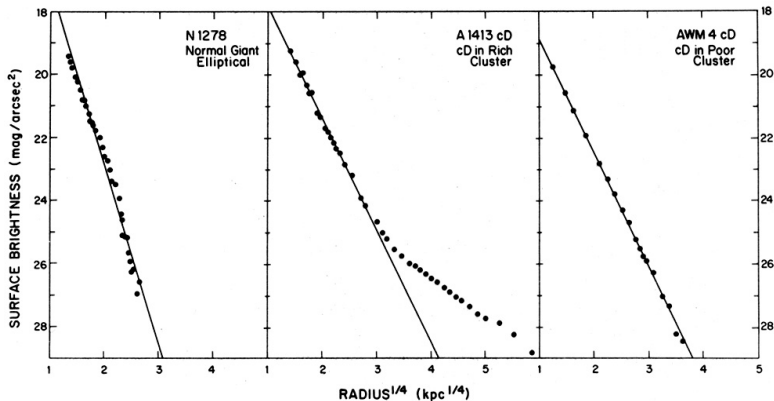


Fig 6.4 (D. Malin) 'Galaxies in the Universe' Sparke/Gallagher CUP 2007

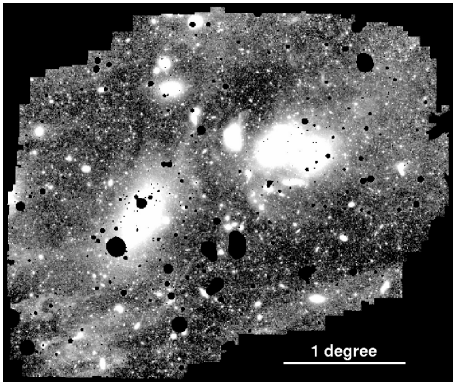
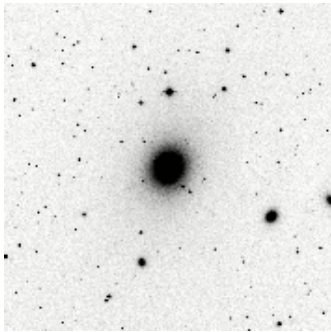
Perfiles de brillo galaxias cD

E normal - cD en cúmulo rico - cD en cúmulo pobre



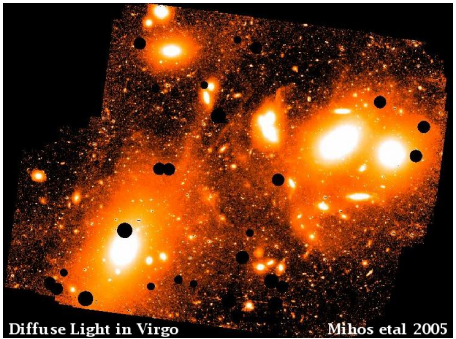
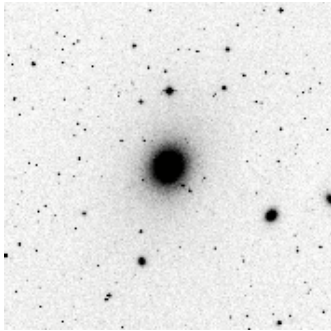
Luz intra-cúmulo

M 87 - Virgo



Luz intra-cúmulo

M 87 - Virgo



Diffuse Light in Virgo

Mihos et al 2005

Galaxias elípticas: rotación de isofotas

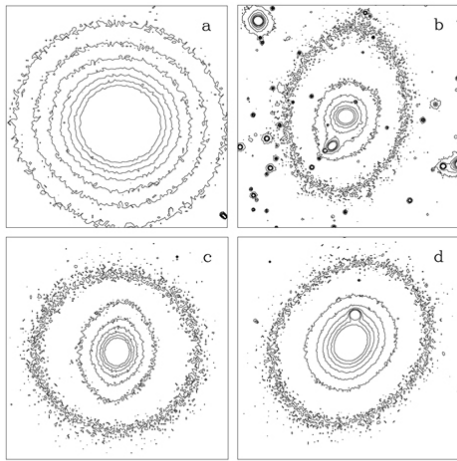


Fig 6.1 (R. de Jong) 'Galaxies in the Universe' Sparke/Gallagher CUP 2007

Elipsoide:

$$\frac{x^2}{a^2} + \frac{y^2}{b^2} + \frac{z^2}{c^2} = 1 \quad (3)$$

con $a > 0$, $b > 0$ y $c > 0$.

Esferoides: elipsoides de revolución, es decir, la superficie que se obtiene al girar una elipse alrededor de uno de sus ejes principales (z) $\rightarrow a = b$.

- Si $a > c$, se tiene un esferoide oblato (forma de lenteja).
- Si $a < c$, se tiene un esferoide prolato u oblongo (similar a una pelota de rugby).

Galaxias elípticas: rotación de isofotas

- E de luminosidad intermedia ($M_B \gtrsim -20$)
→ $\langle q \rangle \approx 0.75 \Rightarrow 0.55 \lesssim Q \lesssim 0.7$ (si son oblatos).
- E de alta luminosidad ($\mathcal{L} \gtrsim \mathcal{L}^*$ o sea $M_B \lesssim -20$)
→ $\langle q \rangle \approx 0.85$. Muy pocas se ven circulares ($q \approx 1$)
⇒ ninguna distribución de elipsoides oblatos reproduce la distribución observada de $q \Rightarrow$ sistemas triaxiales.

Rotación de isofotas

Analogía en 2-D

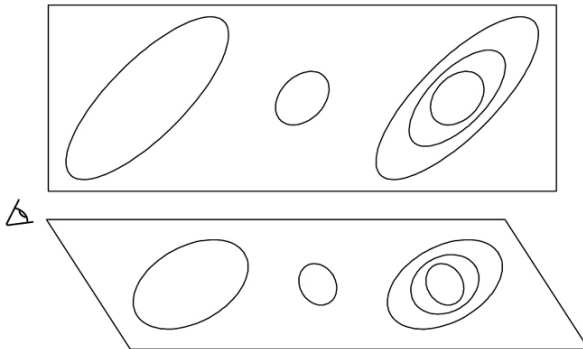


Fig 6.10 'Galaxies in the Universe' Sparke/Gallagher CUP 2007

Isofotas disk y boxy

FIGURE 3. — Distribution of the ellipticity classes for all observed elliptical galaxies.

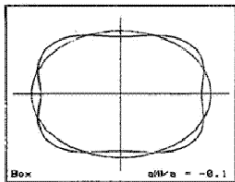
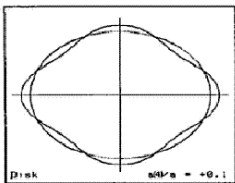


FIGURE 5. — Schematic drawing illustrating isophotes with $a(4)/a = +0.1$ and $a(4)/a = -0.1$.

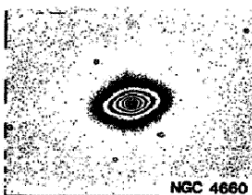


FIGURE 6. — R-image of NGC 4660, an elliptical galaxy with a disk-component in the isophotes ($a(4)/a \sim +0.03$).

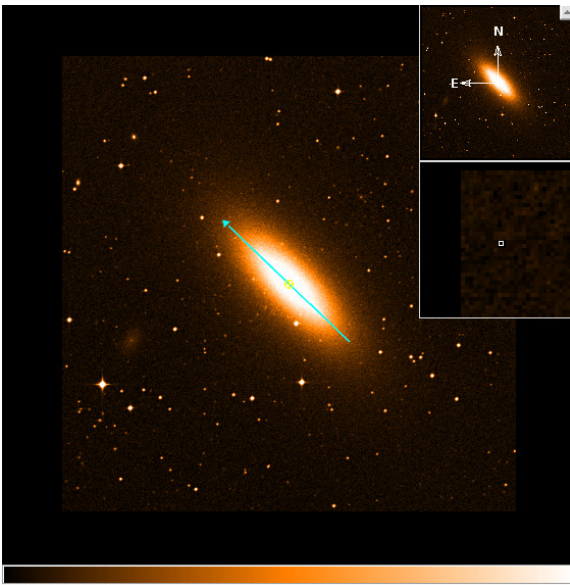


FIGURE 7. — R-image of NGC 5322, an elliptical galaxy with box-shaped isophotes ($a(4)/a \sim -0.01$).

- 1 Consideraciones generales
- 2 Sistemas no colisionales
- 3 Distribución de brillo superficial
- 4 Cinemática
- 5 El plano fundamental
- 6 Poblaciones estelares y material interestelar
- 7 Agujeros negros supermasivos centrales

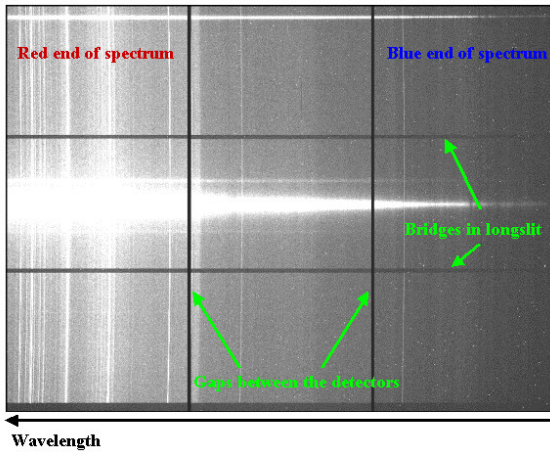
Espectro de ranura larga GMOS

NGC 3115



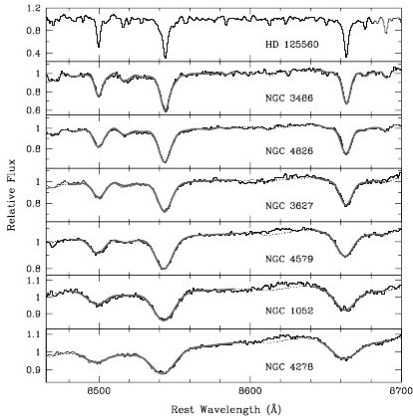
Espectro de ranura larga GMOS

NGC 1399



La dispersión de velocidades

Ensanchamiento de las líneas



$$R = \frac{\lambda}{\delta\lambda} = \frac{\lambda}{2.35\sigma_\lambda}$$

$$R = \frac{\lambda}{\delta\lambda} = \frac{c}{2.35\sigma_v}$$

$$R \gtrsim 5000$$

$$\Rightarrow \sigma_v \lesssim 25 \text{ km s}^{-1}$$

(Barth et al., 2002, AJ, 124, 2607.)

Curvas de v_R y σ_v

NGC 1399

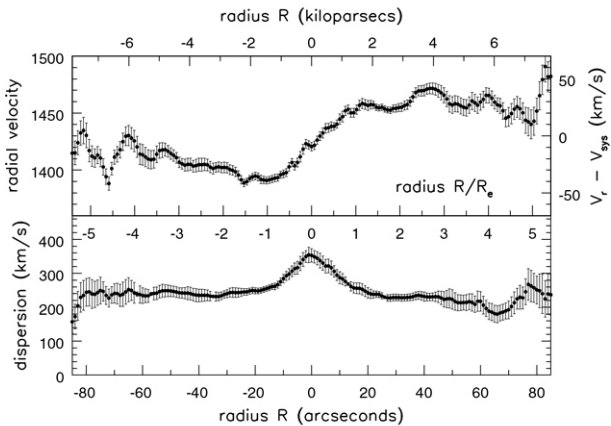
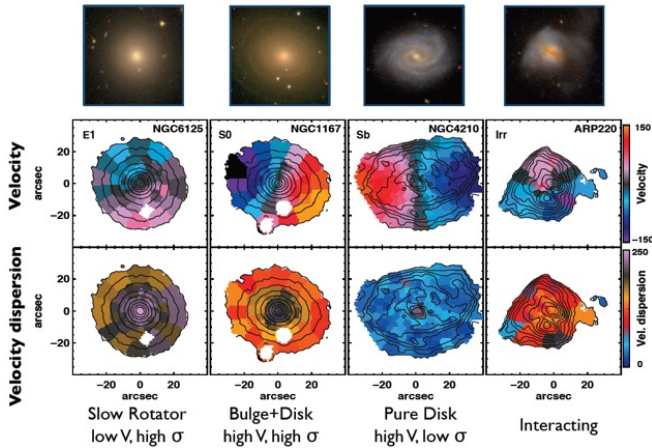


Fig 6.12 (A. Graham) 'Galaxies in the Universe' Sparke/Gallagher CUP 2007

Espectroscopía de campo integral (IFU): CALIFA



$$2\langle T_{xx} \rangle + \langle \Omega_{xx} \rangle = 0, \quad 2\langle T_{yy} \rangle + \langle \Omega_{yy} \rangle = 0, \quad 2\langle T_{zz} \rangle + \langle \Omega_{zz} \rangle = 0. \quad (4)$$

$$\rho(x) = \rho(m^2), \text{ con } m^2 = \frac{x^2 + y^2}{A^2} + \frac{z^2}{B^2} \quad (A \geq B > 0),$$

$$\langle T_{xx} \rangle = \langle T_{yy} \rangle, \quad \langle \Omega_{xx} \rangle = \langle \Omega_{yy} \rangle \quad (5)$$

$$\frac{\langle \Omega_{zz} \rangle}{\langle \Omega_{xx} \rangle} = \frac{\langle T_{zz} \rangle}{\langle T_{xx} \rangle} \approx \frac{\sigma_z^2}{\frac{1}{2} v^2 + \sigma_x^2}, \quad (6)$$

$$\frac{\langle \Omega_{zz} \rangle}{\langle \Omega_{xx} \rangle} \approx \left(\frac{B}{A} \right)^{0.9} = (1 - \epsilon)^{0.9}.$$

$$\frac{v_{\max}}{\sigma} = \left(\frac{v}{\sigma} \right)_{\text{iso}} = \frac{\pi}{4} \sqrt{2[(1 - \epsilon)^{-0.9} - 1]} \quad (7)$$

$$\left(\frac{v}{\sigma} \right)_* = \frac{\left(\frac{v_{\max}}{\sigma} \right)}{\left(\frac{v}{\sigma} \right)_{\text{iso}}}$$

$$2\langle T_{xx} \rangle + \langle \Omega_{xx} \rangle = 0, \quad 2\langle T_{yy} \rangle + \langle \Omega_{yy} \rangle = 0, \quad 2\langle T_{zz} \rangle + \langle \Omega_{zz} \rangle = 0. \quad (4)$$

$$\rho(\mathbf{x}) = \rho(m^2), \text{ con } m^2 = \frac{x^2 + y^2}{A^2} + \frac{z^2}{B^2} \quad (A \geq B > 0),$$

$$\langle T_{xx} \rangle = \langle T_{yy} \rangle, \quad \langle \Omega_{xx} \rangle = \langle \Omega_{yy} \rangle \quad (5)$$

$$\frac{\langle \Omega_{zz} \rangle}{\langle \Omega_{xx} \rangle} = \frac{\langle T_{zz} \rangle}{\langle T_{xx} \rangle} \approx \frac{\sigma_z^2}{\frac{1}{2} v^2 + \sigma_x^2}, \quad (6)$$

$$\frac{\langle \Omega_{zz} \rangle}{\langle \Omega_{xx} \rangle} \approx \left(\frac{B}{A} \right)^{0.9} = (1 - \epsilon)^{0.9}.$$

$$\frac{v_{\max}}{\sigma} = \left(\frac{v}{\sigma} \right)_{\text{iso}} = \frac{\pi}{4} \sqrt{2[(1 - \epsilon)^{-0.9} - 1]} \quad (7)$$

$$\left(\frac{v}{\sigma} \right)_* = \frac{\left(\frac{v_{\max}}{\sigma} \right)}{\left(\frac{v}{\sigma} \right)_{\text{iso}}}$$

$$2\langle T_{xx} \rangle + \langle \Omega_{xx} \rangle = 0, \quad 2\langle T_{yy} \rangle + \langle \Omega_{yy} \rangle = 0, \quad 2\langle T_{zz} \rangle + \langle \Omega_{zz} \rangle = 0. \quad (4)$$

$$\rho(\mathbf{x}) = \rho(m^2), \text{ con } m^2 = \frac{x^2 + y^2}{A^2} + \frac{z^2}{B^2} \quad (A \geq B > 0),$$

$$\langle T_{xx} \rangle = \langle T_{yy} \rangle, \quad \langle \Omega_{xx} \rangle = \langle \Omega_{yy} \rangle \quad (5)$$

$$\frac{\langle \Omega_{zz} \rangle}{\langle \Omega_{xx} \rangle} = \frac{\langle T_{zz} \rangle}{\langle T_{xx} \rangle} \approx \frac{\sigma_z^2}{\frac{1}{2} v^2 + \sigma_x^2}, \quad (6)$$

$$\frac{\langle \Omega_{zz} \rangle}{\langle \Omega_{xx} \rangle} \approx \left(\frac{B}{A} \right)^{0.9} = (1 - \epsilon)^{0.9}.$$

$$\frac{v_{\max}}{\sigma} = \left(\frac{v}{\sigma} \right)_{\text{iso}} = \frac{\pi}{4} \sqrt{2[(1 - \epsilon)^{-0.9} - 1]} \quad (7)$$

$$\left(\frac{v}{\sigma} \right)_* = \frac{\left(\frac{v_{\max}}{\sigma} \right)}{\left(\frac{v}{\sigma} \right)_{\text{iso}}}$$

$$2\langle T_{xx} \rangle + \langle \Omega_{xx} \rangle = 0, \quad 2\langle T_{yy} \rangle + \langle \Omega_{yy} \rangle = 0, \quad 2\langle T_{zz} \rangle + \langle \Omega_{zz} \rangle = 0. \quad (4)$$

$$\rho(\mathbf{x}) = \rho(m^2), \text{ con } m^2 = \frac{x^2 + y^2}{A^2} + \frac{z^2}{B^2} \quad (A \geq B > 0),$$

$$\langle T_{xx} \rangle = \langle T_{yy} \rangle, \quad \langle \Omega_{xx} \rangle = \langle \Omega_{yy} \rangle \quad (5)$$

$$\frac{\langle \Omega_{zz} \rangle}{\langle \Omega_{xx} \rangle} = \frac{\langle T_{zz} \rangle}{\langle T_{xx} \rangle} \approx \frac{\sigma_z^2}{\frac{1}{2} v^2 + \sigma_x^2}, \quad (6)$$

$$\frac{\langle \Omega_{zz} \rangle}{\langle \Omega_{xx} \rangle} \approx \left(\frac{B}{A} \right)^{0.9} = (1 - \epsilon)^{0.9}.$$

$$\frac{v_{\max}}{\sigma} = \left(\frac{v}{\sigma} \right)_{\text{iso}} = \frac{\pi}{4} \sqrt{2[(1 - \epsilon)^{-0.9} - 1]} \quad (7)$$

$$\left(\frac{v}{\sigma} \right)_* = \frac{\left(\frac{v_{\max}}{\sigma} \right)}{\left(\frac{v}{\sigma} \right)_{\text{iso}}}$$

$$2\langle T_{xx} \rangle + \langle \Omega_{xx} \rangle = 0, \quad 2\langle T_{yy} \rangle + \langle \Omega_{yy} \rangle = 0, \quad 2\langle T_{zz} \rangle + \langle \Omega_{zz} \rangle = 0. \quad (4)$$

$$\rho(\mathbf{x}) = \rho(m^2), \text{ con } m^2 = \frac{x^2 + y^2}{A^2} + \frac{z^2}{B^2} \quad (A \geq B > 0),$$

$$\langle T_{xx} \rangle = \langle T_{yy} \rangle, \quad \langle \Omega_{xx} \rangle = \langle \Omega_{yy} \rangle \quad (5)$$

$$\frac{\langle \Omega_{zz} \rangle}{\langle \Omega_{xx} \rangle} = \frac{\langle T_{zz} \rangle}{\langle T_{xx} \rangle} \approx \frac{\sigma_z^2}{\frac{1}{2} v^2 + \sigma_x^2}, \quad (6)$$

$$\frac{\langle \Omega_{zz} \rangle}{\langle \Omega_{xx} \rangle} \approx \left(\frac{B}{A} \right)^{0.9} = (1 - \epsilon)^{0.9}.$$

$$\frac{v_{\max}}{\sigma} = \left(\frac{v}{\sigma} \right)_{\text{iso}} = \frac{\pi}{4} \sqrt{2[(1 - \epsilon)^{-0.9} - 1]} \quad (7)$$

$$\left(\frac{v}{\sigma} \right)_* = \frac{\left(\frac{v_{\max}}{\sigma} \right)}{\left(\frac{v}{\sigma} \right)_{\text{iso}}}$$

$$2\langle T_{xx} \rangle + \langle \Omega_{xx} \rangle = 0, \quad 2\langle T_{yy} \rangle + \langle \Omega_{yy} \rangle = 0, \quad 2\langle T_{zz} \rangle + \langle \Omega_{zz} \rangle = 0. \quad (4)$$

$$\rho(\mathbf{x}) = \rho(m^2), \text{ con } m^2 = \frac{x^2 + y^2}{A^2} + \frac{z^2}{B^2} \quad (A \geq B > 0),$$

$$\langle T_{xx} \rangle = \langle T_{yy} \rangle, \quad \langle \Omega_{xx} \rangle = \langle \Omega_{yy} \rangle \quad (5)$$

$$\frac{\langle \Omega_{zz} \rangle}{\langle \Omega_{xx} \rangle} = \frac{\langle T_{zz} \rangle}{\langle T_{xx} \rangle} \approx \frac{\sigma_z^2}{\frac{1}{2} v^2 + \sigma_x^2}, \quad (6)$$

$$\frac{\langle \Omega_{zz} \rangle}{\langle \Omega_{xx} \rangle} \approx \left(\frac{B}{A} \right)^{0.9} = (1 - \epsilon)^{0.9}.$$

$$\frac{v_{\max}}{\sigma} = \left(\frac{v}{\sigma} \right)_{\text{iso}} = \frac{\pi}{4} \sqrt{2[(1 - \epsilon)^{-0.9} - 1]} \quad (7)$$

$$\left(\frac{v}{\sigma} \right)_* = \frac{\left(\frac{v_{\max}}{\sigma} \right)}{\left(\frac{v}{\sigma} \right)_{\text{iso}}}$$

$$2\langle \mathcal{T}_{xx} \rangle + \langle \Omega_{xx} \rangle = 0, \quad 2\langle \mathcal{T}_{yy} \rangle + \langle \Omega_{yy} \rangle = 0, \quad 2\langle \mathcal{T}_{zz} \rangle + \langle \Omega_{zz} \rangle = 0. \quad (4)$$

$$\rho(\mathbf{x}) = \rho(m^2), \text{ con } m^2 = \frac{x^2 + y^2}{A^2} + \frac{z^2}{B^2} \quad (A \geq B > 0),$$

$$\langle \mathcal{T}_{xx} \rangle = \langle \mathcal{T}_{yy} \rangle, \quad \langle \Omega_{xx} \rangle = \langle \Omega_{yy} \rangle \quad (5)$$

$$\frac{\langle \Omega_{zz} \rangle}{\langle \Omega_{xx} \rangle} = \frac{\langle \mathcal{T}_{zz} \rangle}{\langle \mathcal{T}_{xx} \rangle} \approx \frac{\sigma_z^2}{\frac{1}{2} v^2 + \sigma_x^2}, \quad (6)$$

$$\frac{\langle \Omega_{zz} \rangle}{\langle \Omega_{xx} \rangle} \approx \left(\frac{B}{A} \right)^{0.9} = (1 - \epsilon)^{0.9}.$$

$$\frac{v_{\max}}{\sigma} = \left(\frac{v}{\sigma} \right)_{\text{iso}} = \frac{\pi}{4} \sqrt{2[(1 - \epsilon)^{-0.9} - 1]} \quad (7)$$

$$\left(\frac{v}{\sigma} \right)_* = \frac{\left(\frac{v_{\max}}{\sigma} \right)}{\left(\frac{v}{\sigma} \right)_{\text{iso}}}$$

$$Q^2 \sin^2 i + \cos^2 i = \begin{cases} q^2 & (\text{obl.}) \\ 1/q^2 & (\text{prol.}) \end{cases} \quad (8)$$

Para el caso oblato se puede escribir:

$$\begin{aligned} \left(\frac{b}{a}\right)^2 &= \left(\frac{B}{A}\right)^2 \sin^2 i + 1 - \sin^2 i = \left[\left(\frac{B}{A}\right)^2 - 1\right] \sin^2 i + 1 \quad \Rightarrow \\ \Rightarrow \quad e^2 &= 1 - \left(\frac{b}{a}\right)^2 = \left[1 - \left(\frac{B}{A}\right)^2\right] \sin^2 i. \end{aligned}$$

Aparte,

$$e^2 = 1 - \left(\frac{b}{a}\right)^2 = 1 - (1 - \epsilon)^2 = 1 - (1 - 2\epsilon + \epsilon^2) \approx 2\epsilon \quad (\text{si } \epsilon \ll 1).$$

O sea:

$$2\epsilon \approx \left[1 - \left(\frac{B}{A}\right)^2\right] \sin^2 i.$$

$$Q^2 \operatorname{sen}^2 i + \cos^2 i = \begin{cases} q^2 & (\text{obl.}) \\ 1/q^2 & (\text{prol.}) \end{cases} \quad (8)$$

Para el caso oblativo se puede escribir:

$$\begin{aligned} \left(\frac{b}{a}\right)^2 &= \left(\frac{B}{A}\right)^2 \operatorname{sen}^2 i + 1 - \operatorname{sen}^2 i = \left[\left(\frac{B}{A}\right)^2 - 1\right] \operatorname{sen}^2 i + 1 \quad \Rightarrow \\ \Rightarrow \quad e^2 &= 1 - \left(\frac{b}{a}\right)^2 = \left[1 - \left(\frac{B}{A}\right)^2\right] \operatorname{sen}^2 i. \end{aligned}$$

Aparte,

$$e^2 = 1 - \left(\frac{b}{a}\right)^2 = 1 - (1 - \epsilon)^2 = 1 - (1 - 2\epsilon + \epsilon^2) \approx 2\epsilon \quad (\text{si } \epsilon \ll 1).$$

O sea:

$$2\epsilon \approx \left[1 - \left(\frac{B}{A}\right)^2\right] \operatorname{sen}^2 i.$$

Diagrama cinemático para rotadores isótropos

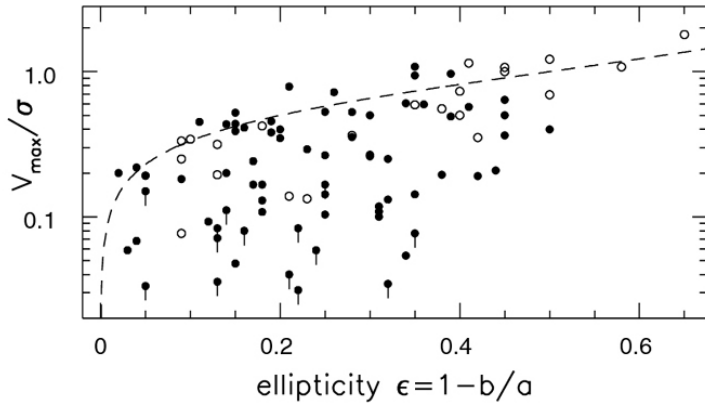


Fig 6.14 (R. Bender) 'Galaxies in the Universe' Sparke/Gallagher CUP 2007

Relación entre cinemática y morfología

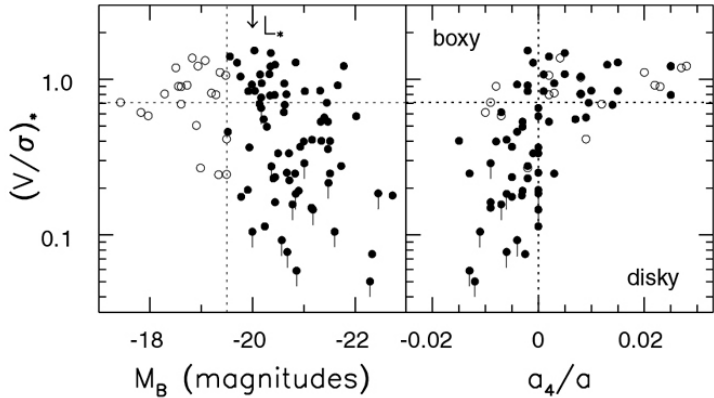


Fig 6.15 (R. Bender) 'Galaxies in the Universe' Sparke/Gallagher CUP 2007

- 1 Consideraciones generales
- 2 Sistemas no colisionales
- 3 Distribución de brillo superficial
- 4 Cinemática
- 5 El plano fundamental**
- 6 Poblaciones estelares y material interestelar
- 7 Agujeros negros supermasivos centrales

Relaciones fotométricas

Sistemas esferoidales

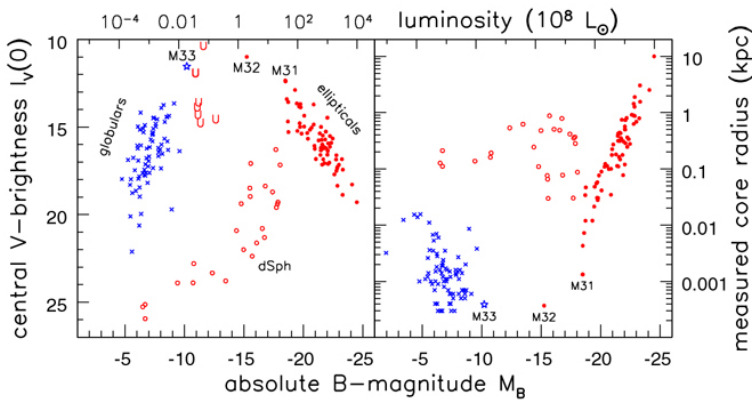
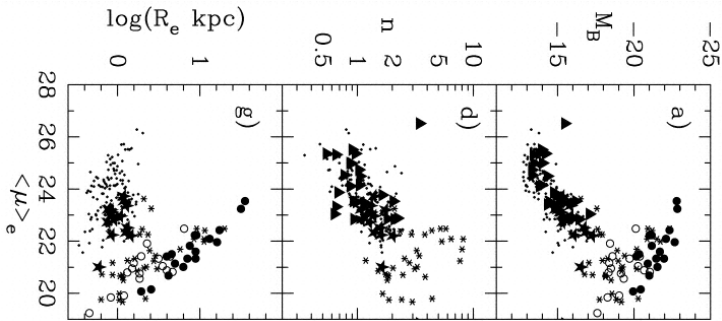


Fig 6.6 (Kormendy, Philips) 'Galaxies in the Universe' Sparke/Gallagher CUP 2007

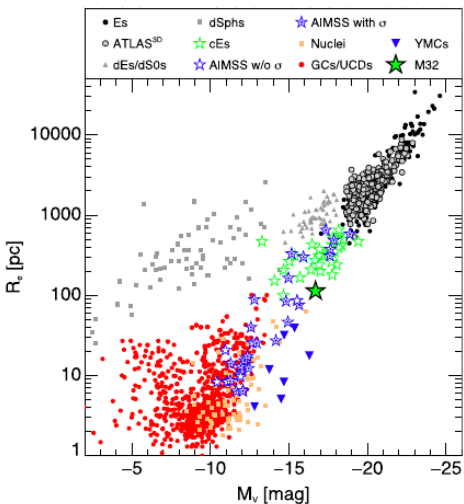
Relaciones fotométricas

Sistemas esferoidales



Relaciones fotométricas

Sistemas esferoidales



Relaciones fotométricas

Sistemas esferoidales

$$R_e \propto \langle I_e \rangle^{-0.83 \pm 0.08} \rightarrow \langle I_e \rangle \propto R_e^{-1.2} \quad (9)$$

$$\frac{\mathcal{L}}{2} = \pi \langle I_e \rangle R_e^2 \rightarrow \mathcal{L} \propto \langle I_e \rangle^{-\frac{2}{3}} \Rightarrow \langle I_e \rangle \propto \mathcal{L}^{-\frac{3}{2}}. \quad (10)$$

Las E brillantes y de \mathcal{L} intermedia tienen I_0 más débil y r_c mayor a mayor \mathcal{L} , mientras que las enanas siguen relaciones inversas.

Relaciones fotométricas

Sistemas esferoidales

$$R_e \propto \langle I_e \rangle^{-0.83 \pm 0.08} \rightarrow \langle I_e \rangle \propto R_e^{-1.2} \quad (9)$$

$$\frac{\mathcal{L}}{2} = \pi \langle I_e \rangle R_e^2 \rightarrow \mathcal{L} \propto \langle I_e \rangle^{-\frac{2}{3}} \Rightarrow \langle I_e \rangle \propto \mathcal{L}^{-\frac{3}{2}}. \quad (10)$$

Las E brillantes y de \mathcal{L} intermedia tienen I_0 más débil y r_c mayor a mayor \mathcal{L} , mientras que las enanas siguen relaciones inversas.

Relación Faber-Jackson

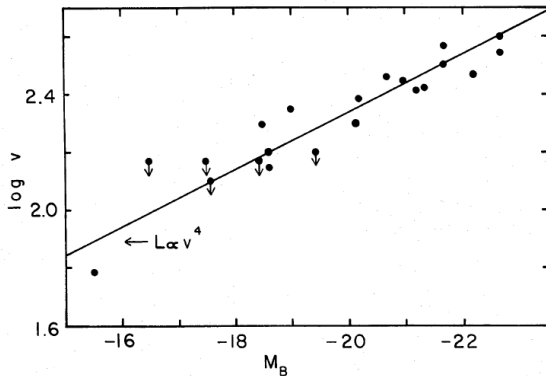
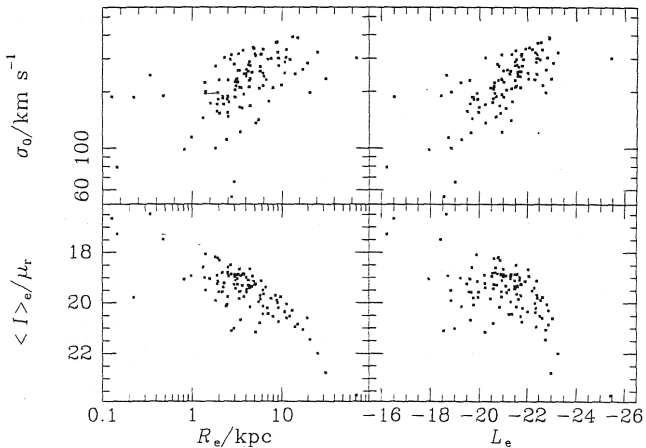


FIG. 16.—Line-of-sight velocity dispersions versus absolute magnitude from Table 1. The point with smallest velocity corresponds to M32, for which the velocity dispersion (60 km s^{-1}) was taken from Richstone and Sargent (1972).

$$\frac{\mathcal{L}_V}{2 \times 10^{10} \mathcal{L}_\odot} \approx \left(\frac{\sigma_0}{200 \text{ km s}^{-1}} \right)^4.$$

Plano Fundamental

Djorgovski & Davis (1987)



Plano Fundamental

Djorgovski & Davis (1987)

$$-0.65 \log(R_e) + 0.22 \langle \mu_e \rangle + 0.86 \log(\sigma_0) = 0. \quad (11)$$

$$\log(R_e) = 0.34 \langle \mu_e \rangle + 1.3 \log(\sigma_0). \quad (12)$$

$$\log(R_e) = -0.34 \times 2.5 \log\langle I_e \rangle + 1.3 \log(\sigma_0) = \log \left(\frac{\sigma_0^{1.3}}{\langle I_e \rangle^{0.85}} \right)$$

$$\Rightarrow (R_e)^{\frac{1}{1.3}} = \frac{\sigma_0}{\langle I_e \rangle^{0.65}} \quad \Rightarrow \quad \log(R_e) = 1.3 \log \left(\frac{\sigma_0}{\langle I_e \rangle^{0.65}} \right),$$

Plano Fundamental

Djorgovski & Davis (1987)

$$-0.65 \log(R_e) + 0.22 \langle \mu_e \rangle + 0.86 \log(\sigma_0) = 0. \quad (11)$$

$$\log(R_e) = 0.34 \langle \mu_e \rangle + 1.3 \log(\sigma_0). \quad (12)$$

$$\log(R_e) = -0.34 \times 2.5 \log\langle I_e \rangle + 1.3 \log(\sigma_0) = \log \left(\frac{\sigma_0^{1.3}}{\langle I_e \rangle^{0.85}} \right)$$

$$\Rightarrow (R_e)^{\frac{1}{1.3}} = \frac{\sigma_0}{\langle I_e \rangle^{0.65}} \quad \Rightarrow \quad \log(R_e) = 1.3 \log \left(\frac{\sigma_0}{\langle I_e \rangle^{0.65}} \right),$$

Plano Fundamental

Djorgovski & Davis (1987)

$$-0.65 \log(R_e) + 0.22 \langle \mu_e \rangle + 0.86 \log(\sigma_0) = 0. \quad (11)$$

$$\log(R_e) = 0.34 \langle \mu_e \rangle + 1.3 \log(\sigma_0). \quad (12)$$

$$\log(R_e) = -0.34 \times 2.5 \log\langle I_e \rangle + 1.3 \log(\sigma_0) = \log \left(\frac{\sigma_0^{1.3}}{\langle I_e \rangle^{0.85}} \right)$$

$$\Rightarrow (R_e)^{\frac{1}{1.3}} = \frac{\sigma_0}{\langle I_e \rangle^{0.65}} \quad \Rightarrow \quad \log(R_e) = 1.3 \log \left(\frac{\sigma_0}{\langle I_e \rangle^{0.65}} \right),$$

Plano Fundamental

Djorgovski & Davis (1987)

$$-0.65 \log(R_e) + 0.22 \langle \mu_e \rangle + 0.86 \log(\sigma_0) = 0. \quad (11)$$

$$\log(R_e) = 0.34 \langle \mu_e \rangle + 1.3 \log(\sigma_0). \quad (12)$$

$$\log(R_e) = -0.34 \times 2.5 \log\langle I_e \rangle + 1.3 \log(\sigma_0) = \log \left(\frac{\sigma_0^{1.3}}{\langle I_e \rangle^{0.85}} \right)$$

$$\Rightarrow (R_e)^{\frac{1}{1.3}} = \frac{\sigma_0}{\langle I_e \rangle^{0.65}} \quad \Rightarrow \quad \log(R_e) = 1.3 \log \left(\frac{\sigma_0}{\langle I_e \rangle^{0.65}} \right),$$

Relación Faber-Jackson y plano fundamental

galaxias E en el cúmulo de Coma y cúmulos a $z \geq 0.39$ (círculos llenos)

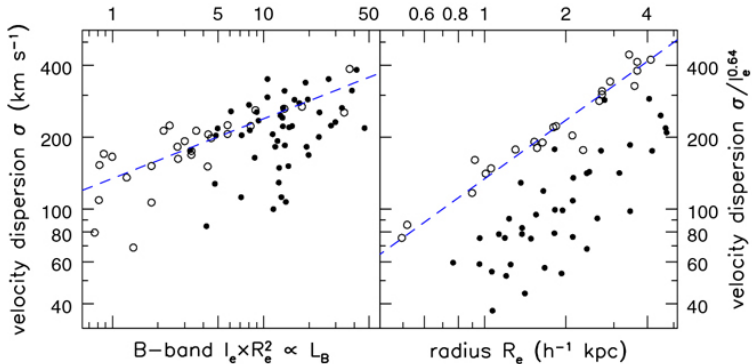
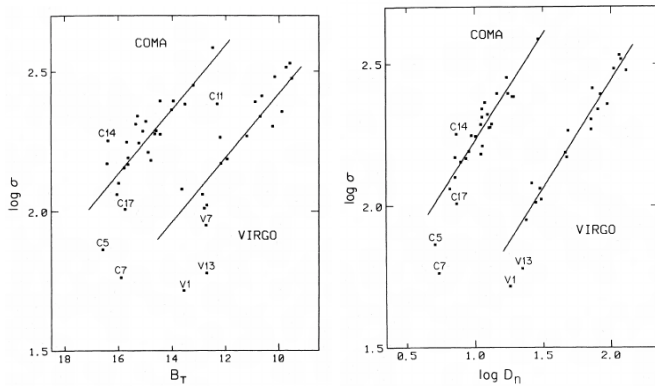


Fig 6.13 (T. Treu) 'Galaxies in the Universe' Sparke/Gallagher CUP 2007

Plano Fundamental: relación $D_n - \sigma_0$

Dressler (1987)



Plano Fundamental: relación $D_n - \sigma_0$

Dressler (1987)

$$\langle I_n \rangle = \frac{F\left(\frac{D_n}{2}\right)}{\pi D_n^2/4},$$

$$\langle I_n \rangle = 8 e^{b_4} b_4^{-8} I_e \left(\frac{R_e}{D_n} \right)^2 \gamma \left(8, b_4 \left(\frac{D_n}{R_e} \right)^{\frac{1}{4}} \right) \rightarrow D_n \propto R_e I_e^{0.8}$$

y usando ec.12 y $\langle \mu_e \rangle = -2.5 \log(\langle I_e \rangle) + \text{cte.}$ tenemos que $R_e = \langle I_e \rangle^{-0.85} \sigma_0^{1.3} + \text{cte.}$, con lo cual:

$$D_n \propto \sigma_0^{1.3} \langle I_e \rangle^{-0.05}.$$

Plano Fundamental: relación $D_n - \sigma_0$

Dressler (1987)

$$\langle I_n \rangle = \frac{F\left(\frac{D_n}{2}\right)}{\pi D_n^2/4},$$

$$\langle I_n \rangle = 8 e^{b_4} b_4^{-8} I_e \left(\frac{R_e}{D_n} \right)^2 \gamma \left(8, b_4 \left(\frac{D_n}{R_e} \right)^{\frac{1}{4}} \right) \rightarrow D_n \propto R_e I_e^{0.8}$$

y usando ec.12 y $\langle \mu_e \rangle = -2.5 \log(\langle I_e \rangle) + \text{cte.}$ tenemos que $R_e = \langle I_e \rangle^{-0.85} \sigma_0^{1.3} + \text{cte.}$, con lo cual:

$$D_n \propto \sigma_0^{1.3} \langle I_e \rangle^{-0.05}.$$

- 1 Consideraciones generales
- 2 Sistemas no colisionales
- 3 Distribución de brillo superficial
- 4 Cinemática
- 5 El plano fundamental
- 6 Poblaciones estelares y material interestelar**
- 7 Agujeros negros supermasivos centrales

Espectro UV-óptico-IR de una galaxia E

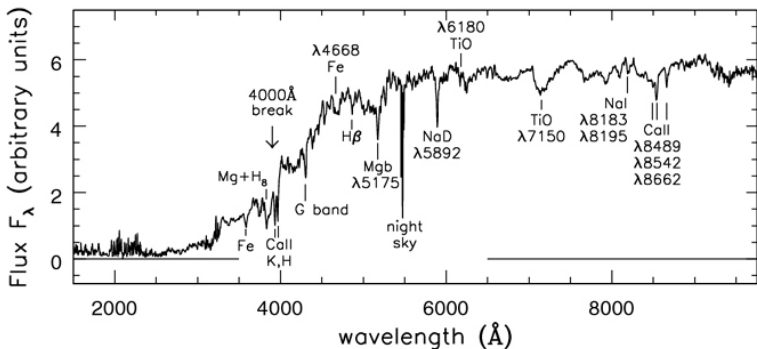


Fig 6.17 (A. Kinney) 'Galaxies in the Universe' Sparke/Gallagher CUP 2007

Relación color-luminosidad

Virgo (círculos vacíos) - Coma (círculos llenos)

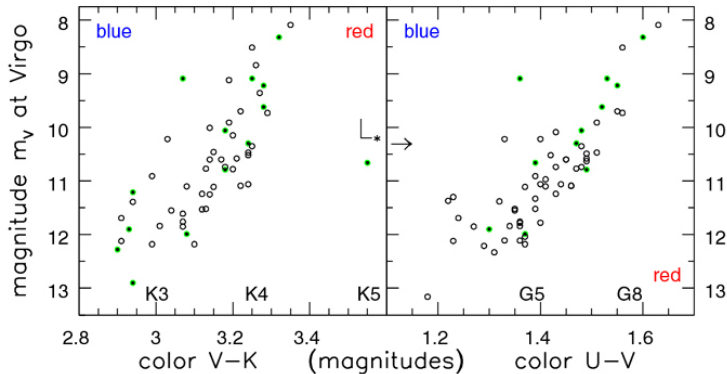
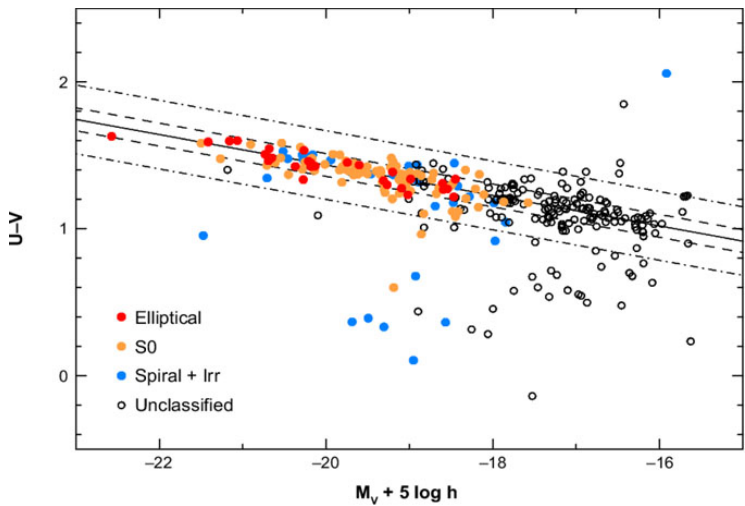


Fig 6.19 'Galaxies in the Universe' Sparke/Gallagher CUP 2007

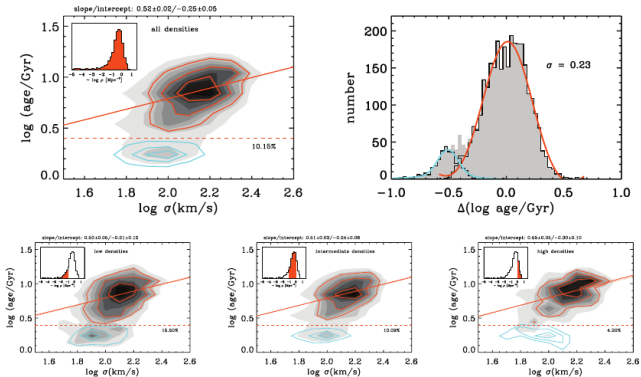
Relación color-luminosidad

Coma (Bawer et al., 1999)



Poblaciones estelares

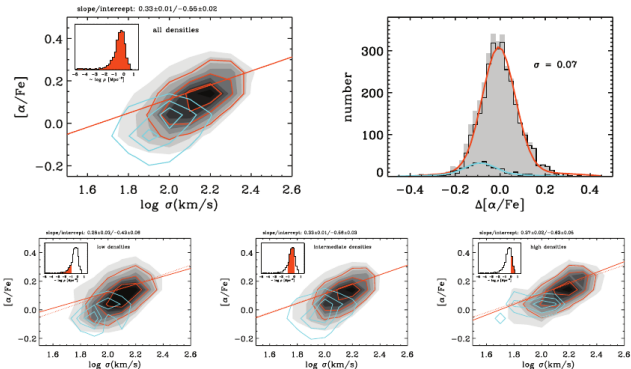
Parámetros SSP equivalentes pesados por luminosidad.



Edad vs. dispersión de velocidades de galaxias E en diferentes hambientes. Los valores son SSP equivalentes obtenidos en base a índices espectrales (Thomas et al. 2010).

Poblaciones estelares

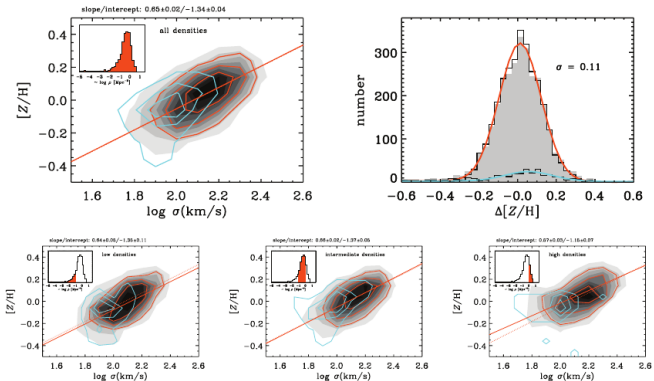
Parametros SSP equivalentes pesados por luminosidad.



$[\alpha/\text{Fe}]$ vs. dispersión de velocidades de galaxias E en diferentes hambientes. Los valores son SSP equivalentes obtenidos en base a índices espectrales (Thomas et al. 2010).

Poblaciones estelares

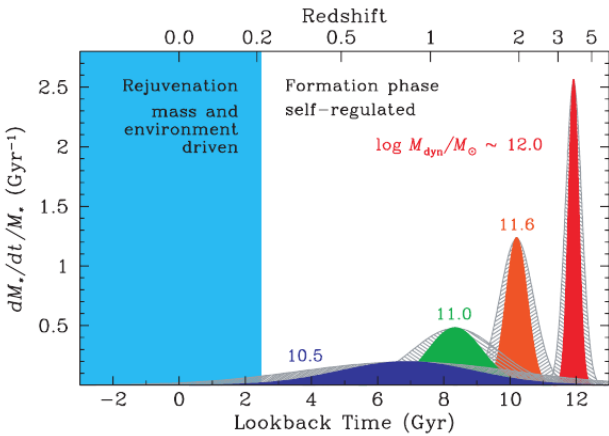
Parametros SSP equivalentes pesados por luminosidad.



$[Z/H]$ vs. dispersión de velocidades de galaxias E en diferentes hambientes. Los valores son SSP equivalentes obtenidos en base a índices espectrales (Thomas et al. 2010).

Poblaciones estelares

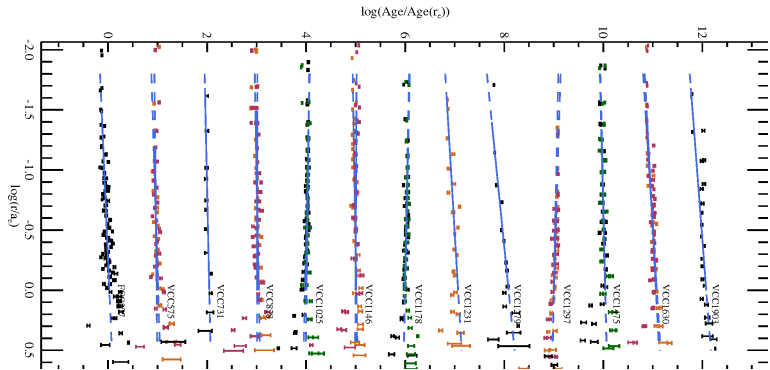
Parametros SSP equivalentes pesados por luminosidad.



Tasa de formación estelar en función del tiempo hacia el pasado, para galaxias E de acuerdo a sus masas (Thomas et al. 2010).

Gradientes de edad

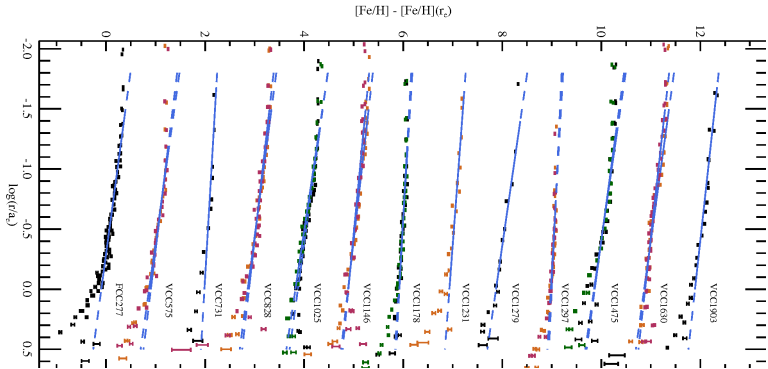
Virgo (Koleva et al., 2011)



Gradientes de edad normalizados a los valores para el radio efectivo (son valores SSP equivalentes).

Gradientes de edad y metalicidad

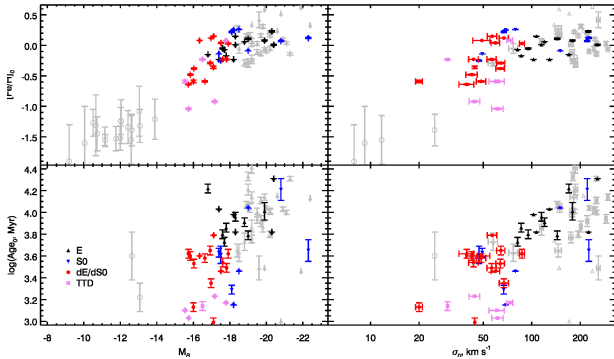
Virgo (Koleva et al., 2011)



Gradientes de metalicidad normalizados a los valores para el radio efectivo, obtenidos a través de la técnica del ajuste espectral completo (son valores SSP equivalentes).

Edad y Metalicidad central

Virgo (Koleva et al., 2011)



[Fe/H] central (arriba) y $\log(\text{edad central})$ (abajo) vs. la magnitud absoluta en el azul (izquierda) y vs. la dispersión de velocidades (derecha).

Gas y polvo

NGC 3923 (The Carnegie-Irvine Galaxy Survey)



5-10 % de las galaxias elípticas muestran gas y polvo detectable: se originan en interacciones y fusiones.

Gas y polvo

NGC 3923 (Sikkema et al., 2007)

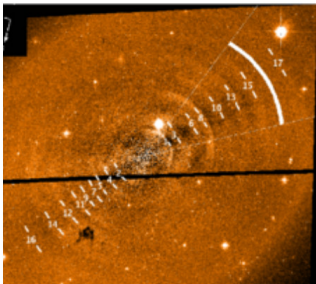


Fig. D.1. Residual image of GALPHOT for NGC 3923 in V with wedge. Note the large dust patch at the NE and faint dust lane within the wedge in the SW direction. The field of view is 202'' x 202''.

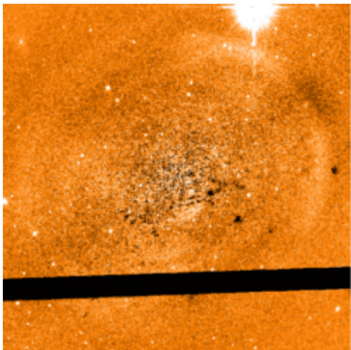
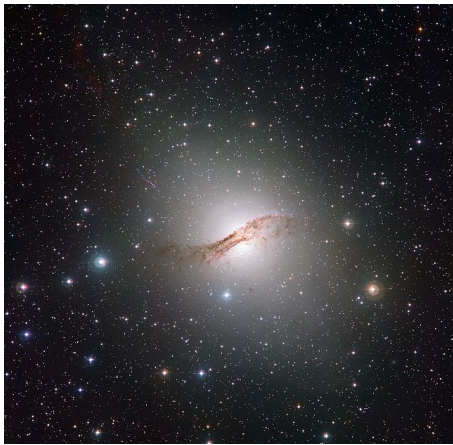


Fig. D.2. Inner region residuals of NGC 3923 in V (40x40 arcsec). Several small dust patches are visible. The innermost shell visible was also detected by Prieur (1988) using ground based data. No more other inner shells are detected.

5-10 % de las galaxias elípticas muestran gas y polvo detectable: se originan en interacciones y fusiones.

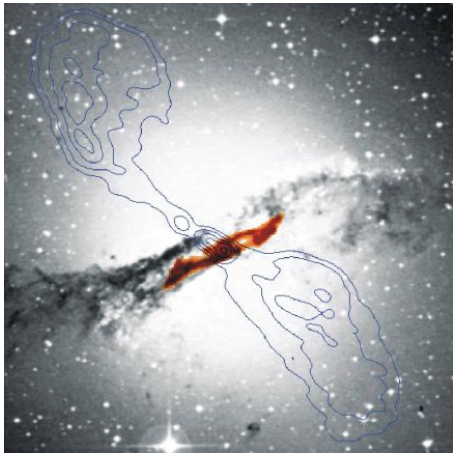
Gas y polvo

NGC 5128 (\equiv radiofuentе Cen A)



Gas y polvo

NGC 5128 (\equiv radiofuentе Cen A)



Gas caliente

NGC 5044 (E. O'Sullivan & ESA)

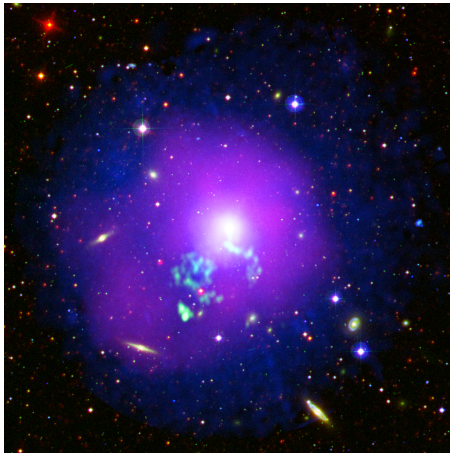


Imagen de la zona central del grupo NGC 5044. Combinación de imágenes óptica del Digitized Sky Survey, e IR y UV de los satélites WISE y Galex de la NASA. Azul: gas caliente observado por XMM-Newton. Purpura: distribución de los átomos de Fe. Verde: emisión en radio proveniente del plasma (Giant Metrewave Radio Telescope).

Gas caliente en galaxias elípticas

NGC 4472 (Sarazin 1997).

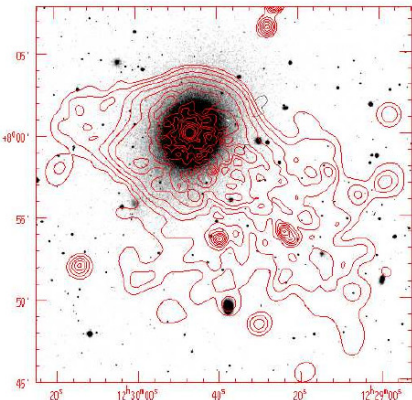


Figure 2. The ROSAT X-ray image of the Virgo elliptical NGC 4472 (Irwin & Sarazin 1996). Contours of the X-ray emission are superposed on a greyscale representation of the optical image.

Gas caliente en galaxias elípticas

$$T_{heat} = \frac{\mu m_p \sigma_*^2}{k_B} = 6.8 \times 10^6 \left(\frac{\sigma_*}{300 \text{ km seg}^{-1}} \right)^2 K$$

$T \sim 1 - 3 \times 10^7 \text{ K}$ \Rightarrow emite en rayos-X (free-free)

E + luminosas: $10^9 - 10^{11} M_\odot$ de gas caliente hasta $r \gtrsim 30 \text{ kpc}$.

E – luminosas: no pueden retener gravitatoriamente el gas.

Ej.: M87 emite $10^9 L_\odot$ en X.

Gas caliente en galaxias elípticas

$$T_{heat} = \frac{\mu m_p \sigma_*^2}{k_B} = 6.8 \times 10^6 \left(\frac{\sigma_*}{300 \text{ km seg}^{-1}} \right)^2 K$$

$T \sim 1 - 3 \times 10^7 \text{ K} \Rightarrow \text{emite en rayos-X (free-free)}$

E + luminosas: $10^9 - 10^{11} M_\odot$ de gas caliente hasta $r \gtrsim 30 \text{ kpc}$.

E – luminosas: no pueden retener gravitatoriamente el gas.

Ej.: M87 emite $10^9 L_\odot$ en X.

Gas caliente en galaxias elípticas

$$\mathcal{L} = n_e n_p \Lambda(T) \quad (13)$$

$$t_{\text{cool}} \approx \frac{\frac{3}{2} (n_e + n_p) k_B T}{n_e n_p \Lambda(T)}. \quad (14)$$

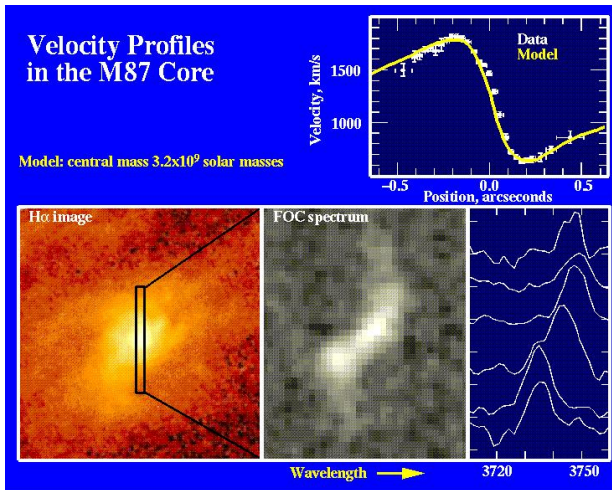
n_e y n_p son las densidades de electrones y protones.

$\Lambda(T)$ es la función de enfriamiento.

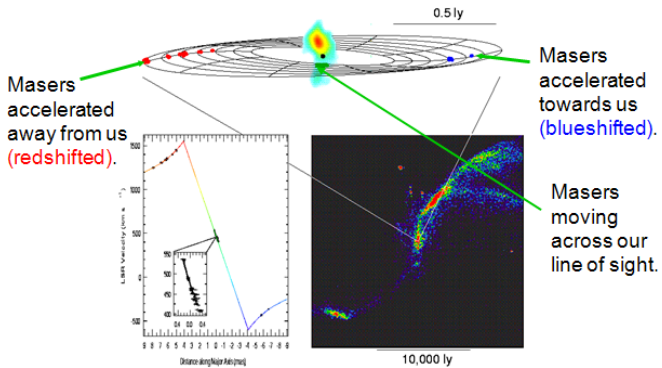
Para radiación libre-libre resulta ser $t_{\text{cool}} \propto n_e^{-1} T^{\frac{1}{2}}$ → en la zona central de las E el enfriamiento es eficiente!

- 1 Consideraciones generales
- 2 Sistemas no colisionales
- 3 Distribución de brillo superficial
- 4 Cinemática
- 5 El plano fundamental
- 6 Poblaciones estelares y material interestelar
- 7 Agujeros negros supermasivos centrales

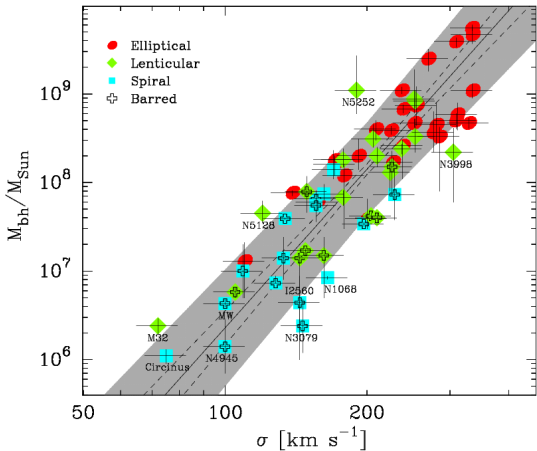
Curva de rotación de M87



Curva de rotación de NGC 4258



Relación $\mathcal{M}_\bullet - \mathcal{M}_{\text{sph}}$



Bibliografía del capítulo:

- *Galaxies in the Universe: An Introduction*,
Linda S. Sparke & John S. Gallagher III (Cambridge University Press, 2nd. Edition, 2000).
- *Galactic Astronomy*,
J. Binney & M. Merrifield (Princeton University Press, 1998).